

論 文

활성 / 비활성 상태에서의 종단과 입력 임피던스 변화를 이용한 전송선로의 전달함수 추정

正會員 李 宗 売* 正會員 陳 傑 玉*

Estimation for the Transfer Function of Transmission Line using the Termination and Input Impedances at Activated / Deactivated states

Jong Heon LEE*, Yong Ohk CHIN* Regular Members

要 約

이 논문은 전송선로의 진폭과 위상응답을 선로의 입력측에서 추정하는 방법에 대해서 논의하고 흡대역 ISDN 가입자 선로의 경우에 적용한 것이다. 활성과 비활성 상태의 표준 단말 임피던스와 선로의 입력측에서 추정할 수 있는 입력 임피던스로부터 선로의 ABCD 파라메터를 구할 수 있는 계산식을 유도한다. 입력 임피던스함수 추정을 위해 “chirp” 신호를 입사 전압신호로 사용하며, 이때 갑유의 영향은 양상분 평균을 취하여 감소 시킨다. 이러한 ABCD 파라메터 추정 방법은 단일선로와 복합선로에 동일하게 적용될 수 있으며, 추정된 결과로부터 진폭 및 위상응답을 구할 수 있다. 흡대역 ISDN 가입자 선로의 모델을 설정하여 보의실험한 결과를 제시하며 단말 임피던스의 변화에 의한 주성오차를 분석하였다.

ABSTRACT

An estimation method for the amplitude and phase response of transmission line is discussed, and applied to narrow band ISDN subscriber line. The ABCD parameters of line are evaluated from four impedance values; the standard termination impedances at activated and deactivated states, and the input impedances of line which can be estimated at each state. Estimating input impedance, the “chirp” signal is used as incident signal and noise effect can be reduced by ensemble averaging. These ABCD parameter estimations might be applicable to either uniform or nonuniform line. Clearly the magnitude and phase response can be obtained from estimated ABCD parameters. The numerical simulation results for N ISDN subscriber line model are included, and the estimation error introduced by deviation in load impedance is also analyzed.

1. 서 론

*慶熙大學校 電子工學科

Dept. of Electronics Eng. Kyung Hee University

論文番號 : 92-10 (接受 1991. 11. 22)

통신로의 통화기법으로는 미리 약정된 데이터 시퀀스를 이용하여 통화기를 통신로의 특성에 적응시키는 방법이 널리 알려져 있고, 악습 시퀀스 없이 직

용할 수 있는 알고리즘이 연구되고 있으나, 간접적으로 서브면 특성을 갖는 전송선로에 적용하기 위한 것은 아니다. 따라서 통신로의 추정과 통화가 양측의 단말기에서 통신이 이루어질 때마다 수행되어야 한다는 점을 지적할 수 있다.

이러한 환경과는 달리 본 논문에서는 선로의 입력 측에서 독자적으로 전달함수를 추정하여 그 결과에 따라 통신로를 보상하는 새로운 방식을 제안하며, 이러한 방식에서 가장 핵심이 되는 문제인 선로의 전달함수(진폭 및 위상응답)를 추정하는 방법에 대하여 간접적으로 논의하고 협대역 ISDN 가입자 선로의 전달함수 추정방법으로 제안한다.

현대의 ISND를 구축하기 위해선 기본의 아님으로 그 전화 가입자 선로의 특성을 파악하여 적절한 이용 방안을 모색하는 것이 매우 중요하다. 가입자 선로에는 아래까지 통신 장애 요소가 있으며 그 현대의 ISND에서 4KHz 정도의 아날로그 음성 대역폭에 비해 매우 넓은 대역폭(약 100 KHz)이 요구된다는데 점이 그 본적인 문제이다. 가입자 선로의 대부분은 실정이 0.4~0.5mm의 동선으로 설치되어 있으며 선로의 길이와 주파수의 증가에 따라 심한 감쇄를 나타내어 고속(기본율 192kbps) 데이터 전송시에 왜곡을 유발하게 된다. 이와 같은 대역폭 내의 선로 웨이팅성을 보상하기 위해선 전달함수 추정과 그에 따른 통화가 이루어져야 하지만 많은 수의 가입자 주파수 협조하여 추정한다는 것은 현실적으로 매우 어렵다. 따라서 교환기에서 추정할 수 있는 환경과 비환경 단말기 상태의 입력 임피던스 합수와 각 상태의 단말기 표준 임피던스를 이용하여 진폭응답과 위상응답을 구하는 방법을 제시한다.

본 논문의 II 장에서는 전송선로의 4단자망 모델과 입력 임피던스 합수와 전달 임피던스를 이용한 전압 전달비 전달함수의 추정방법을 설명하고 III장에서는 비최소 위상 입력 임피던스 합수 추정기법을 제시한다. IV장에서 제안된 기법을 보의 실험한 결과를 제시하고 잡음과 무하 임피던스의 편차로 인한 추정오차를 분석한다. V장에서는 제안된 기법의 유용성과 향후 연구과제에 대해 논의한다.

II. 전송선로의 ABCD 파라메타 추정

전송선로는 [그림 1]과 같이 4단자 망으로 모델링 할 수 있으며 ABCD 파라메터는

$$\begin{bmatrix} A & B \\ C & D \end{bmatrix} = \begin{bmatrix} \cosh(\gamma l) & Z_s \sinh(\gamma l) \\ Y_s \sinh(\gamma l) & \cosh(\gamma l) \end{bmatrix} \quad (1)$$

로 표시된다. 여기서 γ 는 선의 상수로 $a+j\beta$ 이며 a 는 경계상수, β 는 위상상수이다. 또, l 은 선로의 길이이고 Z_s 는 특성 임피던스이다. Z_s 와 Z_{out} 은 ABCD로 표시하면

$$Z_t = \frac{AZ_s + B}{CZ_s + D} \quad (2)$$

$$Z_{out} = \frac{DZ_s + B}{CZ_s + A} \quad (3)$$

이로, Z_t 과 Z_{out} 은 각각 종단과 전압원의 임피던스이다.

$$H = \frac{Z_t}{B + AZ_t} \quad (4)$$

이로 선로 가역성과 대칭성에 의해

$$\det \begin{bmatrix} A & B \\ C & D \end{bmatrix} = AD - BC = 1 \quad (5-a)$$

$$A = D \quad (5-b)$$

의 관계가 성립한다.

식 (1)~(5)에서 사용되는 파라메터는 모두 복소주파수 함수이며 편의상 함수기호를 생략한 것이다.

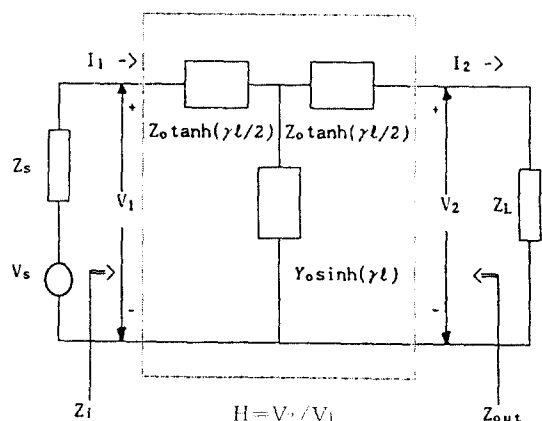


그림 1. 선로의 4단자망 모델

Fig. 1. Two ports model of Transmission line

험대의 ISDN의 경우 기본율인 192Kbps의 속도로 데이터를 전송하기 위해서는 가입자 선로의 전달 특성을 최소한 100kHz까지 전달할 필요가 있으며 주파수가 증가함에 따라 표면 저항에 의한 저항이 증가하고 노설 험피던스 또한 증가하여 감쇄가 심해진다.

[그림 2]는 삼경이 0.4mm인 규모 가입자 선로의 R,L,C,G를 계산하여식(4)에 의해 전송용답과 군지연을 구한 결과를 나타낸 것이다. 여기서 R,L,C,G는 아종현동⁽ⁿ⁾에 계산한 방법으로 구하였고, $Z_L = 100\Omega$ 으로 준 저항인 경우이며 선로 길이 $C = 1.35km$ 인 때를 나타내었다. 선로의 부하 Z_L 이 준 저항이 아닌 경우에도 이와 동일한 방법으로 전송용답과 군지연을 계산할 수 있다.

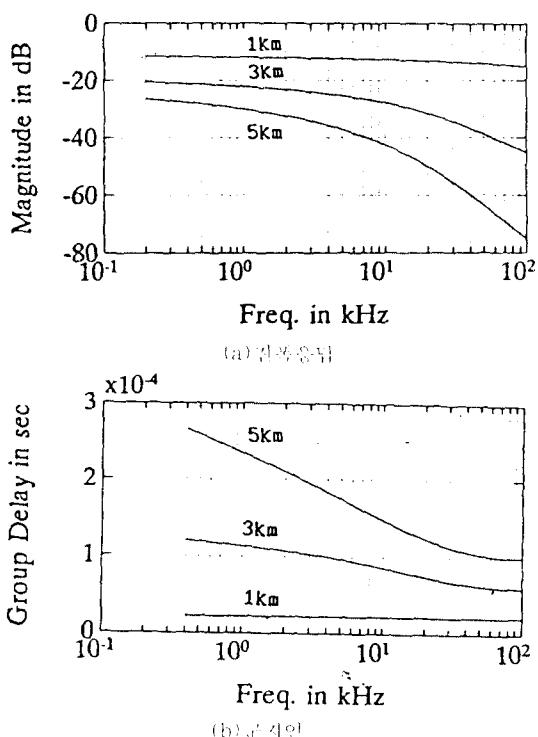


그림 2. 가입자 선로의 전송용답과 군지연($Z_L = 100\Omega$, $\phi = 0.4mm$)

Fig. 2. Magnitude response and Group delay of subscriber line

한편, 단말기에 있는 전원이 공급되어 통신이 이루어지는 활성상태와 전원이 공급되지 않거나 저전력 소비 형태를 유지하는 비활성 상태가 있다. 활성과 비활성 상태는 아날로그 전화에서 off hook와 on hook 상

태에 해당하는 것으로 각 상태에서의 임피던스가 다르다. 이를 두 상태에서의 임피던스를 각각 Z_{1t} , Z_{2t} 라 하면식(2)은

$$Z_t = \frac{AZ_t + B}{CZ_t + D} \quad (6)$$

$$Z_{1t} = \frac{AZ_{1t} + B}{CZ_{1t} + D} \quad (7)$$

으로 2개의 적용 연을 수 있으며 Z_1 과 Z_2 의 추정방법은 III장에서 논의한다. 따라서식 (5)~(7)을 일립하여 풀면 Z_1 , Z_{1t} , Z_{2t} , Z_2 의 항으로 A, B, C를 구할 수 있으며 그 결과는 다음과 같다.

$$A = \frac{V_2 - V_1}{W} + D \quad (8-a)$$

$$B = \frac{U_1 V_2 - U_2 V_1}{W} \quad (8-b)$$

$$C = \frac{U_1 - U_2}{W} \quad (8-c)$$

여기서

$$U_1 = Z_{11} + Z_{12} \quad U_2 = Z_{21} + Z_{22}$$

$$V_1 = Z_{11} \cdot Z_{12} \quad V_2 = Z_{21} \cdot Z_{22}$$

이다.

$$W = \sqrt{(V_1 + V_2)^2 + U_2(V_1 - V_2)(U_1 - U_2) - V_2(U_1 + U_2)^2}$$

이다.

상성이 다른 n개의 부분이 연결되어 이루어진 복합 선로의 경우 ABCD파라메터는

$$\begin{bmatrix} A & B \\ C & D \end{bmatrix} = \begin{bmatrix} A_1 & B_1 \\ C_1 & D_1 \end{bmatrix} \begin{bmatrix} A_2 & B_2 \\ C_2 & D_2 \end{bmatrix} \cdots \begin{bmatrix} A_n & B_n \\ C_n & D_n \end{bmatrix} \quad (9)$$

이므로 단일선로와 동일한 방법으로 추정할 수 있다.

CCITT에서 권고하는 있는 ISDN 사용자 링크 인터페이스의 개념은 [그림 3]과 같다. NT1(Network Terminal 1)은 선로종단, 선로 유저 모듈 가능 및 청중 감시, 페어링, 굽진등의 기능을 수행하는 기

능 그룹이다. LT(Line Termination)는 교환기 측에서 NT1과 유사한 기능을 갖는 기능 그룹이고 ET(Exchange Termination)는 OSI 제2, 3계층의 기능을 갖는 기능 그룹으로서 교환 설비 측에 해당한다.

[그림 3]에서 2선식 동선 케이블이 사용되는 구간은 NT1과 LT 사이의 U기준점 영역이 되며 본 논문에서 제안하는 방법은 LT에서 작용되어 아날로그 구간에 대해 사전등화나 강세가 이루어지는 것이다.

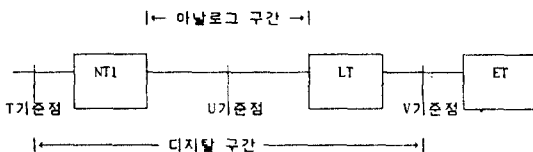


그림 3. 협대역 ISDN 사용자 망 인터페이스
Fig. 3. User Network Interface of N-ISDN

[그림 1]으로 협대역 ISDN의 경우, [그림 1]의 Z_L 은 선로 측에서 본 NT1의 입력 임피던스이며 CCITT에서는 96KHz에서 활성 상태의 경우 100Ω , 비활성 상태에서 $2.5K\Omega$ 이상으로 규정하고 있다.⁽⁴⁾

따라서 Z_{L1} 과 Z_{L2} 가 표준화 되어 있다고 하면 활성 상태와 비활성 상태에서 LT에서 NT1을 향한 임피던스를 추정하여 복합 및 균일 선로의 ABCD파라메타를 추정할 수 있으며, 이를 이용하면 식(4)로부터 전달함수를 구할 수 있다. 잡음과 Z_{L1} , Z_{L2} 의 편차로 인한 추정 오차에 대해서는 III, IV 장에서 논의한다.

III. 입력 임피던스 함수의 추정

입력 임피던스 함수를 추정하는 것은 입력 측에서 측정되는 전류를 전압으로 변환하여 출력 전압으로 본다면 일반적인 시스템 검증 문제로 생각할 수 있다. 시스템 검증 기법으로 가장 보편적으로 알려진 것은 입력에 백색 가우스성 잡음을 인가했을 때 얻어지는 출력을 입력과 비교하는 방법⁽⁶⁾과 적응 필터를 이용하는 방법⁽⁷⁾이 있다. 그러나 이들 방법은 상관이나 제곱인산을 하는 과정을 포함하기 때문에 최소 위상 시스템에만 적용되며 미최소 위상 시스템의 경우에는 위상 응답을 정확히 구할 수 없다. 이러한 점을 감안하여 본 논문에서는 입력 전압 신호로 순시 주파수가 시간에 따라 선형적으로 변화하는 "Chirp" 신호를 이용하여 Z_L 을 추정하는 방법을 제한한다.

입력 전압을

$$u_s(t) = P \cdot \exp[ij(at^2)], \quad 0 \leq t \leq T \quad (10)$$

로 정의되는 Chirp 신호라 하면 $u_s(t)$ 의 순시 주파수는

$$\omega = \frac{d}{dt}(at^2) = at \quad (11)$$

이므로 주파수와 시간은 선형비례관계를 갖으며, 여기서 a 는 시간에 따른 신호의 순시 주파수 증가율을 나타내는 상수이다.

관찰 대역폭을 B 라 하고 $u_s(t)$ 와 $i(t)$ 는 T_s 의 주기로 표본화 했을 때 총 표본수를 N 이라고 하면 $T=NT_s$ 이므로

$$B = aT_s = aNT_s \quad (12)$$

이고, 주성하고자 하는 주파수 함수의 해상도 R 은

$$R = \frac{B}{N} = aT_s \quad (13)$$

가 된다. B 가 주어지면 나이키스트의 표본화율 $T_s = 1/2B$ 이 정해지고 주파수 해상도 R 은 Chirp 신호의 길이 T (또는 N)에 따라 결정된다. T 를 작게 하면 작은 표본수로 추정할 수 있으나 주파수에 따른 전달함수의 변화를 정확히 파악할 수 없을 우려가 있다. 특히 위상응답의 경우 \tan^{-1} 로 구한 주치(principal value) 위상에는 2π 의 상수배에 해당하는 모호성이 존재하므로 N 에는 한개가 존재한다. 즉, 시스템의 균지연 $g_d (= -d\theta/d\omega)$ 는 주파수에 따른 위상응답의 변화율을 나타내므로 2π 의 모호성 없이 위상응답을 추정하기 위해서는

$$N > \frac{\max(g_d)}{2\pi} \cdot B \quad (14)$$

의 한개내에서 N 을 결정하여야 한다.

예를 들어 [그림 2]에 나타난 가입자 선로의 균지연에서 길이가 5Km인 경우 최대값이 2.7×10^4 이므로 $B=100\text{KHz}$ 일때 $N > 4.3$ 이여야 하고 이때 $R < 23.26[\text{KHz}]$ 이다.

그러나 이러한 환경은 위상 모호성이 없을 조건만을 나타내는 것이며 실제로는 가능한한 많은 수의 표본을 이용하여 R이 작도록 해야한다.

[그림 4]는식(10)의 Chirp신호의 실수부를 나타낸 것이다. 하수부는 [그림 4]의 신호와 90° 위상차를 갖는 것이다.

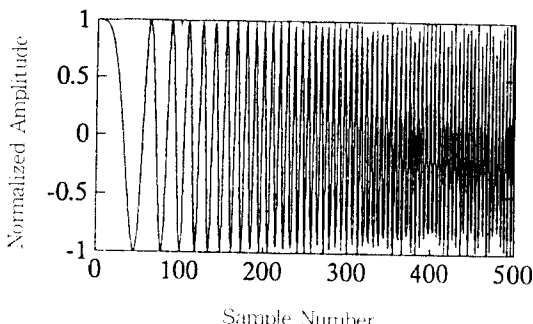


그림 4. chirp 신호

Fig 4. chirp Signal

이와 같은 Chirp신호의 주파수 스펙트럼 특성을 이용하면 입력 임피던스를 주파수 편수로 구할 수 있다. 주 $i_s(t)$ 를 $u(t)$ 로 인가 했을 때 입력주에서 일어나는 전류라 하면

$$Z(w) = \frac{u(t)}{i_s(t)}, 0 \leq w \leq aT \quad (15)$$

로 $Z(w)$ 를 구할 수 있다.

[그림 5]는 이러한 방법을 설명하는 블록도이다.

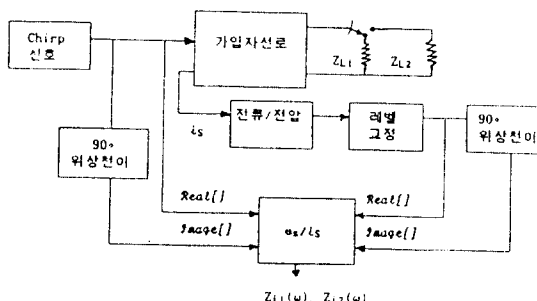


그림 5. 입력 임피던스 흡수의 추정

Fig 5. Estimation of Input Impedance function

진류 / 진압 변화를 진압을 표준화하는 A/D변환을 위해 필요하며 A/D변환부는 그림에서 생략하였다. 래벨 고정기는 진류 / 진압 변화비를 조정하기 위해 사용된다. 위상 전이는 신호의 하수부를 발생시키며 헤드스 편향기로 구현 할 수 있다. 이와 같이 복수수로 구해진 압력전압과 전류으로 변환된 진폭으로부터 입력 임피던스의 크기와 위상각을 구할 수 있으며 이를 구해진 Z11과 Z12에 대해 각각 수행된다.

실제로 $i_s(t)$ 에는 점용이 나타난다.

$$\hat{i}_s(t) = i_s(t) + n(t) \quad (16)$$

로 구해져도 이로 인하여 식(15)로 구한 입력 임피던스한수에 오차가 발생된다. $n(t)$ 가 평균이 0인 가우스형 점용이라 하면 $\hat{i}_s(t) = m$ 회 반복 주성한 수에 따라 해산

$$\hat{i}_s(t) = \lim_{n \rightarrow \infty} \sum (i_s(t) + n(t)) = i_s(t) \quad (17)$$

이 된다. 그러나 m 이 유한 때 $\hat{i}_s(t)$ 는

$$i_s(t) - \frac{\sigma_n}{\sqrt{m}} \leq \hat{i}_s(t) \leq i_s(t) + \frac{\sigma_n}{\sqrt{m}} \quad (18)$$

와 평균 오차 범위 대에서 추정된다. 여기서 $\sigma_n^2 = n(t)$ 의 표준편차이다.

IV. 모의실험 및 오차분석

본 모듈에서 제작한 풍밀의 대답형을 감속화기 위해 섬유 0.4mm, 길이 5Km인 가압자선로의 모델을 만들고 모의실험을 수행된다. [그림 6]은 [그림 4]와 같은 chirp신호가 일가했을 때 원래 주에서 구해진 진류와 진압부와 하수부의 예는 나타낸 것이다. 또 [그림 7]은 설계된 모델에 대해 진류와 위상응답을 추정한 결과이다. 이때 SNR = 10dB이고, $m = 10$ 이며 주장교차 점용의 rms오차는 전주응답의 경우 0.51(dB), 위상응답의 경우 0.097(rad)이다. 신호의 진주응답을 $|H(\omega)|$, 위상응답을 $\Phi(\omega)$ 라고 대입하면 B 라 하면 대역을 대에서 이상적인 통화기의 응답 $|H(\omega)|$ 와 $\Phi(\omega)$ 는 각각

$$|H_i(\omega)| = \frac{1}{|H(\omega)|} \quad (19\text{-a})$$

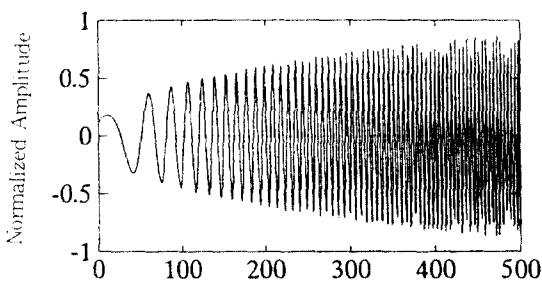
$$\Phi_i(\omega) = -\omega T_0 - \Phi(\omega) \quad (19\text{-b})$$

$$0 \leq \omega \leq B$$

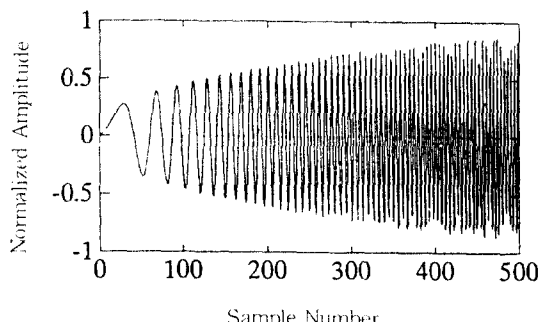
이다. 여기서 T_0 는 자연을 나타내는 상수이며 $-\omega T_0$ 는 위상왜곡이 없는 선형위상 응답 특성을 의미한다. 식(19)와 같은 이상적 동화기의 특성을 [그림 7]에 점선으로 표시하였다.

chirp신호는 비안정성향(nonstationary)신호로써 시간에 따라 $\omega(t)$ 의 실효자가 변하기 때문에 평균진폭 또는 실효자로 표시되는 SNR을 시간 구간별로 설정 할 필요가 있다. [그림 7]의 경우에는 $T/2 \sim T$ (-즉, 50kHz~100kHz)에서 σ/σ_0 을 10dB로 한 것이다.

현원 NT1의 입력 임피던스 즉, Z_{in}, Z_{in} 가 표준화하기으로 상해지 않다고는 하지만 실질적으로 원자가 있을 가능성이 있으므로 이로 인한 주성오차를 분석해 볼 필요가 있다. [그림 8]은 원자가 $\pm 80\%$ 인 경우 주성값과 잡값을 함께 표시한 것으로 실선이 잡값을, 그리고 점선이 주성값을 나타낸다. 선로의 특성 임피던스가 작은 고주파 부분에서 보다 큰 오자가 발생할 수 있다. [그림 9]는 최대 오자가 발생하는 100kHz에서 Z_{in}, Z_{in} 의 원자로 인한 오차를 표시한 것이다. 그림으로부터 $\pm 100\%$ 의 원자를 갖을 때 주성오자는 약 $\pm 1.6\text{dB}$ 임을 알 수 있다.



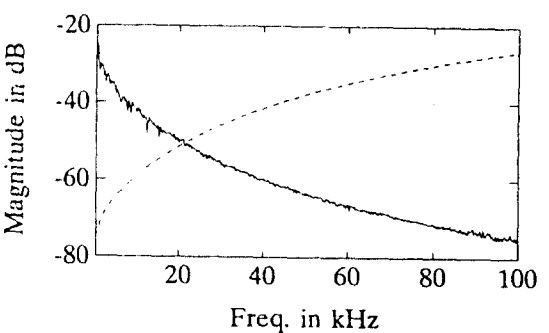
(a) 실수부



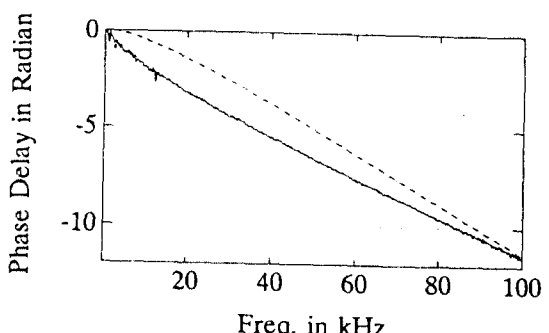
(b) 헤수부

그림 6. 입력신류의 실수부와 헤수부

Fig 6. Real and Image Part of Input Current



(a) 진동응답



(b) 위상응답

— 이상적 동화기 특성 ————— 주성값

그림 7. 주성원 신파의 위상응답($\sigma/\sigma_0 = 10\text{dB}, m=10$)
Fig 7. Estimated Magnitude and Phase Response

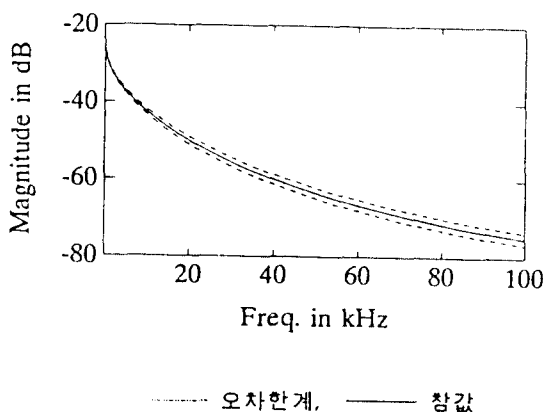


그림 8. Z_l 의 편차가 있을 때 진폭응답(偏差 $\pm 80\%$)
Fig 8. Magnitude Response with Deviation in Z_l .

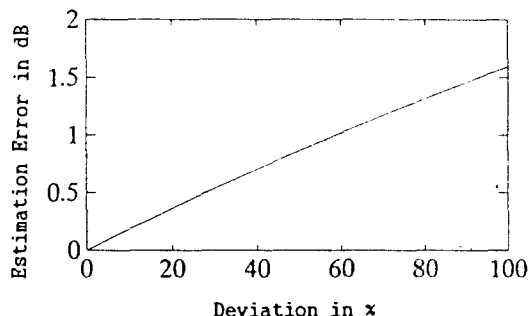


그림 9. Z_l 의 편차에 따른 진폭응답의 최대오차
Fig 9. Maximum Error in Magnitude Response According to Deviation in Z_l .

VI. 결 론

본 논문은 단발기 상태가 활성일때와 비활성일때 추정한 입력 임피던스로부터 전송선로의 전달함수를 구할 수 있는 방법을 논의하고 협대역 ISDN의 가입자 선로의 진폭과 위상응답을 추정하는 방법을 세웠다. 이러한 방법은 단발측과의 협조없이 교환기 층에서만 수행될 수 있으며 정기적인 추정에 의해 선로를 보상할 수 있을 것이다.

이를 위해 활성과 비활성 상태의 종단 및 입력 임피던스의 행 만으로 ABCD 파라메터를 구할 수 있는 계산식을 유도 하였으며 입력 임피던스 추정방법에 대해서 논의하였다. 활성과 비활성 상태의 단발기 입력 임피던스 즉, 선로의 종단 임피던스는 규칙화

되어 사용에 알 수 있는 것으로 가정하였다. 그러나, 단발기 입력 임피던스의 편차가 크더라도(규칙의 ±100%) 추정오차는 약 ±1.6(dB) 정도에 지나지 않음을 협대역 ISDN 가입자 선로의 모델에 대한 수치 계산에 의해 확인하였다.

선로의 입력 임피던스 추정을 위해 chirp 신호를 이용하였으며 양상을 평균으로 감소의 영향을 감소 시킬 수 있었다. chirp 신호는 산발신호가 아니라므로 입력과 출력을 동시에 측정한 필요가 없으며 추정과정에서 세포아니 상관을 취하지 않기 때문에 미세소위상 시스템의 감증에도 적용이 가능하다.

이상과 같은 방법은 신호를 암사하여 되돌아오는 신호를 분석한다는 점에서 시간영역 반사-추정법과의 한 종류로 볼 수 있으나, 선로의 전송지연을 추정하기 위한 종래의 방식과는 구분적으로 다르다. 본 연구에 들어야 선제 신호에 대한 현장실험과 추정기에 따른 악관련의 문제점과 차이로 양상을 평균을 위해 이러한 추정해야 하는 문제점을 해결할 수 있는 다음 세 가지 방법이 연구되어야 할 것으로 판단된다.

참 고 문 헌

1. 이 종현, 성 대경, 전 용우, “협대역 ISDN을 위한 디지털 시스템 모델링과 통신로 용량의 한계점”, 대한 전자공학회 논문지, Vol.25, No.6, 1988.
2. 성 대경, 전 용우, “협대역 ISDN 서비스 개발을 위한 우리나라 가입자 선로 특성 추정”, 한국통신 학회 논문지, Vol.13, No.1, pp.91~105, 1988.2.
3. L.N. Dworsky, “Modern Transmission Line Theory and Application”, pp.38~39, John Wiley & Sons, Inc.
4. CCITT Rec., I.430, Blue Book, 1988.
5. S.Qureshi, “Adaptive Equalization”, Proc. IEEE, Vol.73, No.9, pp.1349~1387, 1985.
6. J.S.Bendat, A.G.Piersol, “Engineering Applications of Correlation and Spectral Analysis”, Wiley, 1980.
7. B.Widrow, S.D.Stearns, “Adaptive Signal Processing”, Prentice-Hall, 1985.



李宗憲(Jong Heon LEE) 正會員

1962年10月7日生

1985年2月：慶熙大學校電子工學

科 卒業(工學士)

1987年8月：慶熙大學校 大學院

電子工程科 卒業(工

學碩士)

1988年9月～現在：慶熙大學校大

學院 電子工學科 博

士課程



陳庸玉(Yong Ohk CHIN) 正會員

1943年3月21日生

1968年2月：延世大學校工科大學

電氣工學科 卒業

1975年2月：延世大學校 大學院

電子工學科 (工學碩

士)

1981年8月：延世大學校 電子工

學科(工學博士)

1980年：通信技術士

1976年～現在：慶熙大學校 工科大學 電子工學科 教授